

# 論文 ハイパーコンクリートの破壊靭性に関する研究

大岡督尚<sup>\*1</sup>・橋高義典<sup>\*2</sup>

**要旨:** 高強度コンクリートの靭性改善を目的として、短纖維を混入した試験体を作製し、切欠きはり3点曲げ試験を行った。試験で得られた荷重-荷重点変位曲線から、多直線近似解析法により引張軟化曲線を求め、その曲線から算出した各種破壊パラメータにより、靭性改善効果を比較検討した。その結果、短纖維の材質別の靭性改善効果、および粗骨材最大寸法が高強度コンクリートの靭性に及ぼす影響などが明らかとなった。

**キーワード:** ハイパーコンクリート、短纖維、破壊力学、タフネス指数、破壊エネルギー、引張軟化曲線

## 1. はじめに

高強度コンクリートの場合、水セメント比の低減などがモルタルマトリックス強度を大きくするが、その強度が粗骨材強度を上回ると、コンクリート破断時に粗骨材も破断し、極めて脆性的な破壊形態を示す。また、エネルギー吸収能も圧縮強度の増加の割には、必ずしも大きくならない[1]。このことは、鉄筋コンクリート部材の設計や、構造体の耐久性上不利な要因であり、コンクリートにとって重要な課題のひとつである。

本研究の目的は、高強度コンクリートの靭性を改善することにある。高靭性化を図る方法として、短纖維の混入やポリマーの混入などが挙げられるが、今回は適切な性能をもつ短纖維を混入した高強度・高靭性コンクリート（以下、ハイパーコンクリートと呼ぶ）[2]について検討した。これまでに、モルタルマトリックス部分を用いた実験により、各種短纖維の靭性改善効果を把握しているため[3]、今回は粗骨材を含むコンクリートについて検討した。試験は、切欠きはり3点曲げ試験とし、荷重-荷重点変位測定結果から、筆者らが提案している多直線近似引張軟化曲線[4]を求め、破壊力学的手法に基づいた破壊パラメータ[5]を算出して、靭性改善効果を検討した。

## 2. 実験概要

### 2.1 使用材料および調合

表-1にコンクリートの基本調合を、表-2に使用短纖維の種類と特性を示す。粗骨材最大寸法は、20mmと15mmの2種とした。また、表-1の調合から粗骨材を除いたモルタル試験体も作製した。短纖維は、前報[3]より高強度モルタルの靭性改善効果に有効と考察されたものを選定し、細骨材の一部を置換して混入した。ビニロン纖維は容積混入率(Vf)で2%，鋼纖維はVf2%とVf3%とし、アラミド纖維はVf2%が混練不可能であったため、約1%の混入率とした。

表-1 基本調合（纖維無混入, kg/m<sup>3</sup>）

| W/B | W   | C   | SF  | S   | G   | SP     |
|-----|-----|-----|-----|-----|-----|--------|
| 20% | 160 | 680 | 120 | 675 | 789 | B×3～5% |

C:高ヒーライト系セメント（比重3.20）  
SF:粉体シリカフューム SF/(C+SF)=15%（比重2.20）  
S:八王子市美山産碎砂・富津市鶴岡産山砂混合（比重2.60）  
G:段戸産石英片岩（比重2.63）  
SP:高性能AE減水剤（ポリカルボン酸系）  
B:粉体量 (C+SF)

表-2 使用短纖維の種類と特性

| 材質   | 記号 | 長さ<br>(mm) | 径<br>(μm) | 引張強度<br>(N/mm <sup>2</sup> ) | ヤング率<br>(kN/mm <sup>2</sup> ) | 比重   |
|------|----|------------|-----------|------------------------------|-------------------------------|------|
| ビニロン | VF | 30         | 240×720   | 900                          | 29                            | 1.30 |
| 鋼    | SS | 30         | 600       | 1160                         | 206                           | 7.85 |
| アラミド | AT | 30         | 400*      | 3000                         | 69                            | 1.39 |

\*収束タイプ

\*1 東急建設（株）技術研究所建築研究部建築材料研究室（正会員）

\*2 東京都立大学助教授 工学部建築学科、工博（正会員）

表-3 試験体の種類および各コンクリートの性質

| 試験体<br>記号 | 条件       |                  |                     | フレッシュ時試験結果        |            |                      | 硬化後強度試験結果                    |                               |   |
|-----------|----------|------------------|---------------------|-------------------|------------|----------------------|------------------------------|-------------------------------|---|
|           | 繊維<br>種類 | 混入量<br>Vf<br>(%) | 粗骨材<br>最大寸法<br>(mm) | スランフ<br>(cm)      | 空気量<br>(%) | コンクリート<br>温度<br>(°C) | 圧縮強度<br>(N/mm <sup>2</sup> ) | ヤング率<br>(kN/mm <sup>2</sup> ) | 割裂引張<br>強度 <sup>2</sup><br>(N/mm <sup>2</sup> ) |
| PL20      | 無混入      | —                | 20                  | 23.8              | 3.2        | 22                   | 93.5                         | 53.0                          | 6.19  |
| PL15      |          | —                | 15                  | 18.0              | 3.4        | 23                   | 109                          | 37.5                          | 6.25  |
| PL5       |          | —                | モルタル                | 25.5              | 2.8        | 22                   | 122                          | 48.0                          | 5.63  |
| VF20-2    | ビニロン     | 2                | 20                  | 7.0               | 2.0        | 25                   | 96.7                         | 37.9                          | 6.75  |
| VF15-2    |          | 2                | 15                  | 6.5               | 1.6        | 26                   | 98.4                         | 37.0                          | 6.35  |
| VF5-2     |          | 2                | モルタル                | 21.0 <sup>1</sup> | 3.9        | 23                   | 92.6                         | —                             | 5.73  |
| SS20-2    | 鋼        | 2                | 20                  | 10.5              | 2.6        | 26                   | 112                          | 50.6                          | 7.67  |
| SS15-2    |          | 2                | 15                  | 13.8              | 1.8        | 27                   | 123                          | 40.4                          | 11.2  |
| SS5-2     |          | 2                | モルタル                | 23.5 <sup>1</sup> | 4.2        | 22                   | 100                          | 35.3                          | 11.1  |
| SS20-3    | 鋼        | 3                | 20                  | 9.2               | 1.5        | 26                   | 70.9                         | 43.8                          | 14.2  |
| SS15-3    |          | 3                | 15                  | 3.3               | 2.3        | 25                   | 137                          | 46.0                          | 12.9  |
| SS5-3     |          | 3                | モルタル                | 22.5 <sup>1</sup> | 3.3        | 22                   | 117                          | 47.1                          | 13.0  |
| AT20-1    | アラミド     | 0.8              | 20                  | 6.5               | 1.1        | 24                   | 115                          | 41.2                          | 7.44  |
| AT15-1    |          | 0.9              | 15                  | 4.0               | 0.8        | 23                   | 111                          | 40.6                          | 8.25  |
| AT5-1     |          | 1.4              | モルタル                | 8.5               | 1.8        | 24                   | 112                          | 41.6                          | 10.3  |

\*1 モルタルマトリックスと繊維が分離

\*2 最終破断まで至らなかった

## 2.2 混練方法

50ℓパン型強制練りミキサーを使用し、短繊維を除いて空練りを30秒間、加水して2分間混練後、短繊維を少しずつ投入しながら4分間混練した。

## 2.3 試験体形状寸法および養生方法

韌性評価用曲げ試験体寸法は100×100×450mm、圧縮および割裂引張強度試験用供試体はφ100×200mmとし、各調合3本ずつ作製した。

試験体は打設後、材齢2日目に脱型し、20°C水中で試験時(材齢28日)まで養生した。

## 2.4 試験体の種類およびコンクリートの性質

表-3に試験体の種類と各コンクリートの性質を示す。

## 2.5 試験方法

破壊韌性評価試験は、RILEMの切欠きはり3点曲げ試験法[6]に準じた。ダイアモンドカッター(刃厚2mm)を使用して、試験体中央にはりせいの半分(50mm)の切欠きを入れた。支点間スパンは400mmである(スパンはりせい比=4)。試験方法を図-1に示す。加力は最大容量100kNのインストロン型精密万能試験機を用い、クロスヘッド速度の制御により載荷した。繊維混入試験体(VF・AT・SS)は0.2mm/secの載荷速度としたが、繊維無混入試験体(PL)は最大荷重後の急激な荷重低下を防ぐため、0.01mm/secの載荷速度とした。荷重は100kNロードセル(測定精度:指示値の±0.5%以内)で測定し、荷重点変位は図-2に示す変位測定治具を試験体に取付け、10mm変位計(感度:0.001mm)で測定した。

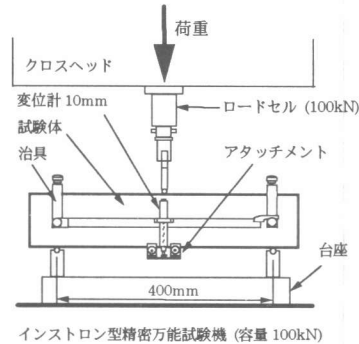


図-1 切欠きはり3点曲げ試験方法

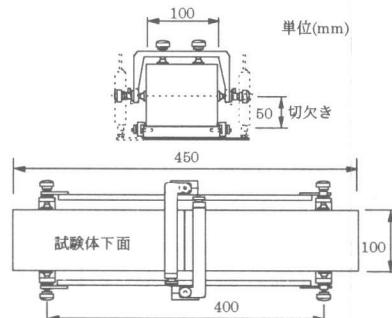


図-2 変位測定用治具

### 3. 破壊パラメータ算出方法

破壊パラメータの算出方法は既往の研究[3]と同一である。図-3に示す結合力モデルを用いて、材料のモードI（引張変形型）での破壊進展をモデル化した。開口変位と結合応力の関係が引張軟化曲線（以下 TSD）であり、実験で得られた荷重-荷重点変位曲線（以下 LPD）から逆解析して、多直線で近似した[4,5]。図-4のTSDで囲まれた面積は、仮想ひび割れ節点が $\delta=\delta_{cr}$ （限界開口変位）となるまで完全に分離するために必要な破壊エネルギー $G_F^{TSD}$ であるが、繊維補強コンクリートではコンクリートが完全な破断に至らず $\delta_{cr}$ が特定できない場合もあり、 $G_F^{TSD}$ の評価が難しい。そこで、TSDにおいて有効ひび割れ幅 $\delta_u$ （0.5mmに設定）まで囲まれる面積を有効破壊エネルギー $G_F^u$ と定義した。また、破壊エネルギーが同一でもTSDの形状によって荷重-変位曲線は変化する。開口変位が小さいときのTSD形状は材料特性として重要であるため、その部分を過大に評価したタフネス指数（T.M.）を式(1)で定義した[2]。さらに、本解析手法で求まる初期結合応力の値は、ばらつきやすいので、開口変位0.01mmまでの平均結合応力を有効引張強度( $f_{teff}$ )と定義した。

$$T.M. = \sum_{i=1}^u g_i; \quad g_i = \int_0^{\delta_i} \sigma(\delta) d\delta \quad \cdots (1)$$

ここに、 $i = 1, 2, 3, 4, 5, u$  ( $\delta_1 = 0.01, \delta_2 = 0.02, \delta_3 = 0.05, \delta_4 = 0.10, \delta_5 = 0.20, \delta_u = 0.50$ (mm)

### 4. 結果および考察

#### 4. 1 引張強度とヤング率

図-5に解析時に最適化した初期結合応力 $\sigma_0$ と引張軟化曲線から求めた有効引張強度 $f_{teff}$ 、および割裂引張強度試験結果を示す。割裂引張強度と比較して、 $\sigma_0$ は大きめとなるが、 $f_{teff}$ はほぼ等しい値を示しているものが多い。

図-6に解析時に最適化したヤング率と圧縮強度試験で測定したヤング率を示す。ヤング率はほぼ等しい値を示している。

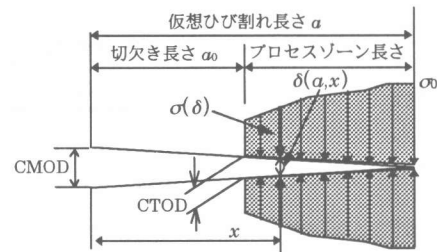


図-3 結合力モデル

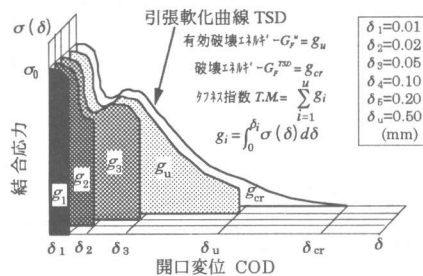


図-4 引張軟化曲線に基づく韌性評価パラメータ

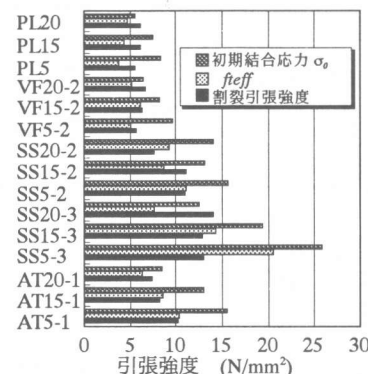


図-5 引張強度

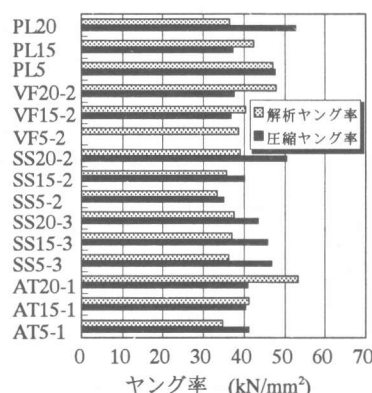


図-6 ヤング率

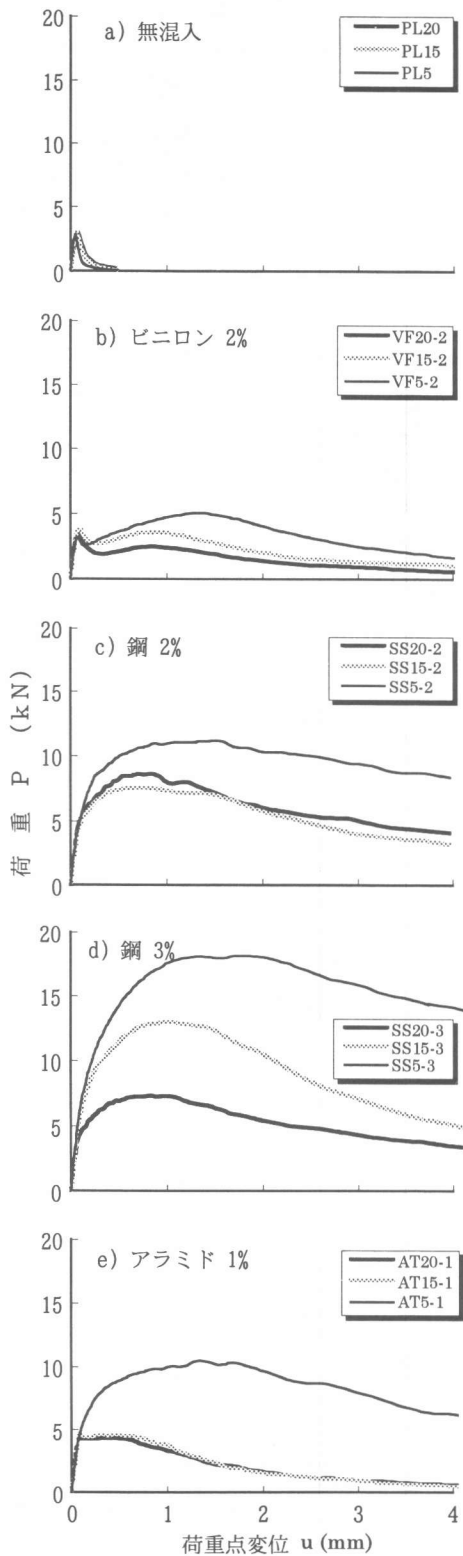


図-7 荷重-荷重点変位曲線（計測値平均）

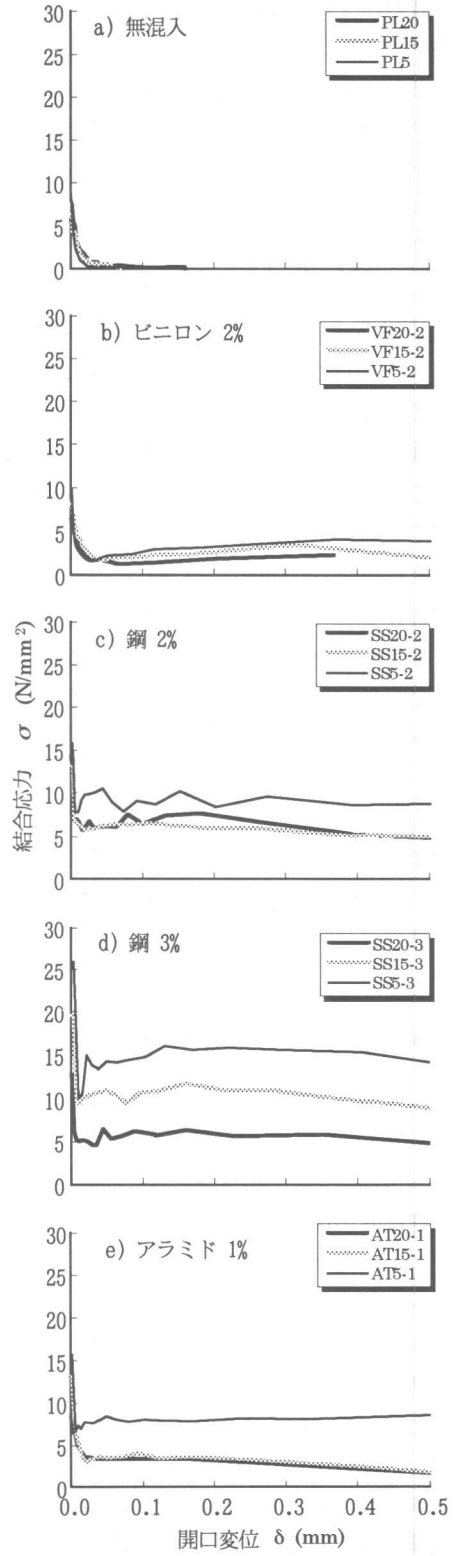


図-8 引張軟化曲線（解析値）

表-4 破壊パラメータ一覧

| 試験体記号  | ヤング率<br>$E$<br>(kN/mm <sup>2</sup> ) | 破壊WOF <sup>1)</sup><br>$G_F^{WOF}$<br>(kN/m) | 破壊TSD <sup>1)</sup><br>$G_F^{TSD}$<br>(kN/m) | 有効破壊<br>初期結合<br>応力<br>$\sigma_0$<br>(N/mm <sup>2</sup> ) | 限界開口<br>変位 <sup>1)</sup><br>$\delta_c$<br>(mm) | タフネス<br>指数<br>$T.M.$ | 有効引張強度<br>$f_{teff}$<br>(N/mm <sup>2</sup> ) | 限界荷重点<br>変位<br>$u_o$<br>(mm) | 等価応力拡大<br>係数 <sup>2)</sup><br>$K_{IC}^S$<br>(N/mm <sup>2</sup> √m) | 等価限界<br>ひび割れ<br>長さ <sup>2)</sup><br>$a_c$<br>(mm) | 限界CTOD <sup>2)</sup><br>$CTOD_C$<br>(mm) | 等価曲げ<br>強度<br>$f_b$<br>(N/mm <sup>2</sup> ) |      |
|--------|--------------------------------------|--|--|--|--|----------------------|--|------------------------------|--|---|--|---|------|
| PL20   | 36.6                                 | 0.11   | 0.11   | 0.11   | 5.59   | 0.160                | 0.53   | 4.76                         | 0.464  | 1.28  | 56.8                                     | 0.007                                       | 7.07 |
| PL15   | 42.5                                 | 0.10   | 0.09   | 0.09   | 7.52   | 0.071                | 0.46   | 4.48                         | 0.479  | 1.32  | 57.3                                     | 0.006                                       | 7.12 |
| PL5    | 47.3                                 | 0.07   | 0.06   | 0.06   | 8.42   | 0.111                | 0.32   | 3.80                         | 0.468  | 1.24  | 57.3                                     | 0.005                                       | 6.65 |
| VF20-2 | 48.2                                 | 1.50   | 0.73   | 0.73   | 6.44   | 0.368                | 1.56   | 5.24                         | —  | 1.65  | 58.9                                     | 0.006                                       | 8.47 |
| VF15-2 | 40.5                                 | 2.05   | 1.52   | 1.38   | 8.33   | 0.579                | 2.46   | 6.19                         | —  | 1.75  | 58.2                                     | 0.008                                       | 9.26 |
| VF5-2  | 38.9                                 | 3.14   | 2.64   | 1.73   | 9.76   | 0.740                | 2.80   | 5.18                         | —  | 4.17  | 71.8                                     | 0.013                                       | 11.6 |
| SS20-2 | 39.2                                 | 5.58   | 6.02   | 3.17   | 14.1   | 1.260                | 5.83   | 9.30                         | —  | 6.51  | 70.3                                     | 0.021                                       | 19.5 |
| SS15-2 | 35.9                                 | 4.88   | 5.48   | 2.90   | 13.2   | 1.275                | 5.39   | 8.81                         | —  | 5.75  | 70.5                                     | 0.020                                       | 17.5 |
| SS5-2  | 33.5                                 | 9.03   | 13.7   | 4.52   | 15.7   | 1.954                | 8.13   | 11.2                         | —  | 10.2  | 73.7                                     | 0.033                                       | 24.0 |
| SS20-3 | 37.9                                 | 4.97   | 5.15   | 2.83   | 12.6   | 1.171                | 5.09   | 7.71                         | —  | 5.37  | 69.6                                     | 0.019                                       | 17.5 |
| SS15-3 | 37.2                                 | 8.12   | 10.5   | 5.24   | 19.5   | 1.838                | 9.44   | 14.4                         | —  | 8.65  | 67.8                                     | 0.033                                       | 30.9 |
| SS5-3  | 36.3                                 | 14.7   | 23.5   | 7.59   | 25.9   | 2.644                | 13.3   | 20.6                         | —  | 13.6  | 70.1                                     | 0.048                                       | 42.3 |
| AT20-1 | 53.5                                 | 1.91   | 1.48   | 1.44   | 8.53   | 0.526                | 2.91   | 6.32                         | —  | 3.41  | 70.8                                     | 0.008                                       | 10.4 |
| AT15-1 | 41.6                                 | 1.95   | 1.78   | 1.58   | 13.1   | 0.731                | 3.21   | 8.66                         | —  | 2.03  | 56.7                                     | 0.009                                       | 11.3 |
| AT5-1  | 35.0                                 | 7.80   | 10.3   | 4.09   | 15.6   | 1.713                | 7.21   | 10.5                         | —  | 9.45  | 73.7                                     | 0.029                                       | 22.0 |

\*1) PL以外は破断せず,  $u_o=4.8\text{mm}$ までのデータで算定

\*2) 2パラメータ法での等価パラメータ解析結果[7]

#### 4. 2 荷重－荷重点変位曲線(LPD)

図-7に切欠きはり3点曲げ試験で得られた荷重－荷重点変位曲線(LPD)を示す。短纖維を混入することにより、破壊エネルギーは大きくなり、韌性改善効果が表れている。

#### 4. 3 引張軟化曲線(TSD)

図-8にLPDから逆解析によって求めた引張軟化曲線(TSD)を示す。TSDにおいても短纖維の混入による韌性改善効果が表れており、特にビニロン(VF)・鋼纖維(SS)においては一時的に右上がりになる傾向、すなわち部分的に引張硬化の傾向もみられる。

#### 4. 4 破壊パラメータ

表-4に破壊パラメータ一覧を示す。

図-9にPL(プレーン)試験体の $G_F^u$ , T.M.,  $f_{teff}$ を示す。各破壊パラメータは、粗骨材最大寸法が大きいほど大きな値を示している。今回の曲げ試験では、粗骨材はすべて破断していたが、粗骨材の存在によって、モルタル試験体よりも、ひび割れの偏向・屈曲等が起こり易く、破壊時のエネルギー吸収が大きくなつたと考えられる。

図-10に各試験体の有効引張強度 $f_{teff}$ を示す。短纖維を混入することにより $f_{teff}$ は大きくなり、特に鋼纖維(SS)・アラミド纖維(AT)混入試験体の $f_{teff}$ が大きい。

図-11に破壊エネルギー $G_F^u$ を、図-12に応力拡大係数 $K_{IC}^S$ を、図-13にタフネス指数T.M.を示す。各破壊パラメータは、短纖維を混入することにより著しい増加を示し、高強度コンクリートの韌性改善に短纖維の混入が有効である。

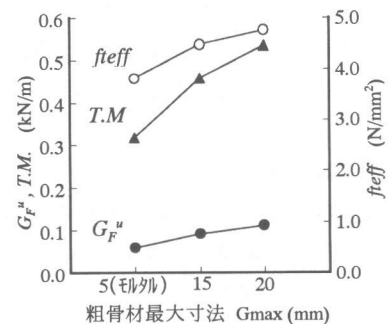


図-9 PL試験体の破壊パラメータ

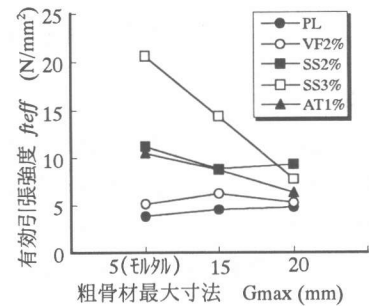


図-10 有効引張強度 $f_{teff}$

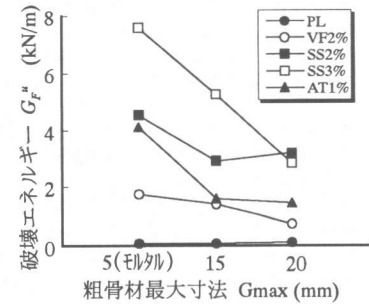


図-11 破壊エネルギー $G_F^u$

ることを示している。特に鋼纖維の混入は有効で、さらに Vf2%より Vf3%の方が韌性改善効果が高い。アラミド纖維の場合は、Vf1%程度しか混入できなかつたが、韌性改善効果はビニロンの Vf2%の試験体より大きかつた。また、粗骨材を除いたモルタルマトリックス試験体( $G_{max} = 5\text{mm}$ )は、纖維の絶対量が多いため、コンクリート試験体と比較して、韌性改善効果はより高くなっている。

また、粗骨材最大寸法の影響は纖維の種類や混入量によって異なるが、最大寸法が大きいほど韌性改善効果は小さくなる傾向がある。これは、最大寸法が大きいほど纖維の集中する部分が偏り、逆に最大寸法が小さいほどコンクリートの単位体積に占める纖維の分散度が大きく、ひび割れ分散も大きくなり、エネルギー吸収が大きくなるためと考えられる。なお、これらの結果は、粗骨材・纖維の種類などによって異なると考えられ、今後の更なる検討が必要である。

## 5.まとめ

高強度コンクリートの高韌性化を目的として、短纖維を混入した高強度・高韌性コンクリート（ハイパーコンクリート）の試験体を作製し、切欠きはり3点曲げ試験による韌性評価を行った。その結果、本研究の範囲では、短纖維を混入することにより、高強度コンクリートの韌性は大きく改善できることが分かった。また、纖維を混入した高強度コンクリートにおいては、粗骨材の最大寸法が大きくなるほど韌性は低下する傾向が見られた。

## 謝辞

本研究を行うに当たり、実験にご協力頂いた都立大大学院生の中村則清氏、および卒論生の竹中淳一氏（現・長谷工コーポレーション）・佐渡一太氏（現・東京電力）、神奈川大学卒論生の斎藤伸樹氏（現・タカムラ建材工業）に深く感謝いたします。さらに、試料を提供してくださった（株）ポリス物産・（株）クラレ・総武生コン（株）の方々に感謝の意を表します。

## 参考文献

- [1] 橋高義典、中村成春：高強度コンクリートの破壊パラメータに及ぼす粗骨材の影響、日本建築学会構造系論文集、No.490, pp.7-16, 1996.12
- [2] 橋高義典、上村克郎、中村成春：ハイパーコンクリートの韌性評価方法に関する研究、コンクリート工学会年次論文報告集、Vol.17-1, pp.451-456, 1995.6
- [3] 大岡督尚、橋高義典：ハイパーコンクリートにおける高強度モルタルマトリックス部の破壊韌性に関する研究、コンクリート工学会年次論文報告集、Vol.18-1, pp.1143-1148, 1996.6
- [4] 橋高義典、上村克郎、中村成春：コンクリートの引張軟化曲線の多直線近似解析、日本建築学会構造系論文報告集、No.453, pp.15-25, 1993.11
- [5] 橋高義典：引張軟化曲線の多直線近似解析によるコンクリートの弾塑性破壊パラメータの評価、日本建築学会構造系論文報告集、No.467, pp.17-24, 1995.3
- [6] RILEM, Draft Recommendation : Determination of the Fracture Energy of Mortar and Concrete by Means of Three-point Bend Test on Notched Beams, Materials and Structures, Vol.18, No.106, pp.285-290, 1985.
- [7] Jenq,Y.S.,and Shah,S.P.:Two Parameter Fracture Model for Concrete, Journal of Engineering Mechanics, ASCE, Vol.111,No.10, pp.1227-1241,1985

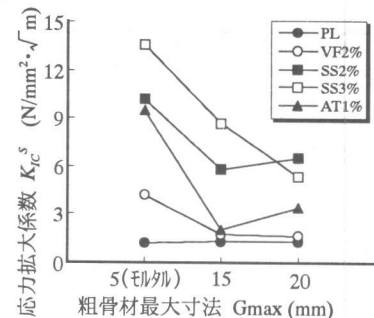


図-12 応力拡大係数  $K_{Ic}^S$

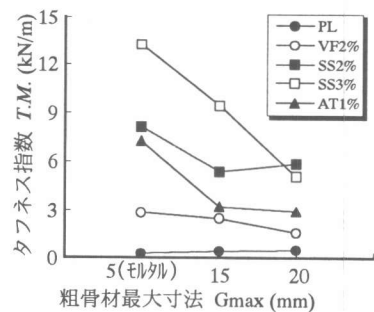


図-13 タフネス指標 T.M.